

УДК 539.385.669.7215

Ху Чженьюй¹, В. В. Абраимов^{1,2}, Хэ Ши Юй¹,
Ян Де Чжуан¹, Б. М. Рассамакин³

¹Центр космічного матеріалознавства та імітації факторів космічного простору
Харбінського політехнічного інституту, Харбін (КНР)

²Харківський національний університет ім. В. Н. Каразина, Харків,

³Національний технічний університет України «Київський політехнічний інститут», Київ

Деградация параметров солнечных батарей под воздействием факторов космического пространства

Надійшла до редакції 26.07.01

Представляются результаты экспериментального исследования воздействия потоков протонов (P^+) и электронов (e^-) радиационных поясов Земли, а также ионов азота верхней атмосферы Земли N^+ , (имитируемых лабораторно в комплексных имитаторах факторов космоса КИФК и УПИ), с энергией частиц $E = 60—200$ кэВ на основные параметры солнечных батарей КА: ток короткого замыкания I_{K3} и напряжение холостого хода U_{XX} . Получена большая серия вольт-амперных характеристик $I(U)$ открытых и защищенных стеклом К-208 фотоэлектрических преобразователей (ФЭП) в широком интервале поглощенных доз: $\Phi = 10^{10}—10^{16}$ част/см², соответствующих временам эксплуатации КА $\Delta t = 1—20$ лет для орбит в интервале высот $H = 300—36000$ км. Показано, что для открытых ФЭП при дозах, превышающих $\Phi = 5 \cdot 10^{14}$ част/см², происходит существенная деградация основных параметров солнечных батарей; при этом I_{K3} и U_{XX} уменьшаются в 2 и более раз. Совместное облучение протонами и электронами защищенных ФЭП при дозах $\Phi = 10^{16}$ част/см² (соответствующих 20 годам эксплуатации КА на GEO-орбите) уменьшает I_{K3} и U_{XX} на 25 %. Облучение открытых ФЭП ионами азота N^+ при дозах облучения $\Phi = 10^{16}$ см² приводит к практически полной деградации основных параметров солнечных батарей ($I_{K3} \rightarrow 0$). Полученные результаты трактуются в рамках современных теорий генерации радиационных дефектов в полупроводниках в поле космической радиации и их влияния на время жизни τ неосновных носителей. Наблюдается хорошее согласие экспериментальных деградационных характеристик для тока I_{K3} с предсказаниями теории деградации солнечных батарей Г. Раушенбаха.

ВВЕДЕНИЕ

Известно, что в настоящее время полупроводниковые фотоэлектрические преобразователи (ФЭП) являются одним из основных источников электрической энергии на космических аппаратах (КА) [2—8]. Эксперименты показали, что под воздействием экстремальных факторов космического пространства — потоков протонов (P^+) и электронов (e^-) радиационных поясов Земли, ионов верхней атмосферы Земли (N^+ , O^+ , He^+ , Ar^+) — происходит весьма существенная деградация полупроводниковых фотопреобразователей, проявляющаяся в уменьшении их фоточувствительности и тока. В

ряде работ экспериментально показано, что облучение протонами вызывает более значительные повреждения солнечных батарей (СБ), чем электронами. При облучении ионизирующими излучениями в кристаллах ФЭП возникают радиационные дефекты, концентрация которых зависит от дозы (интенсивности) излучения, т. е. от времени эксплуатации КА на разных высотах H в радиационных поясах Земли. Возникновение радиационных дефектов в кристаллах полупроводников сопровождается изменением равновесной концентрации носителей тока (электронов и дырок) вследствие захвата их дефектами, уровни которых лежат в запрещенной зоне полупроводника. При освещении

облученных протонами и электронами солнечных батарей КА заатмосферным Солнцем, это проявляется в уменьшении их основных параметров: тока короткого замыкания I_{KZ} и напряжения холостого хода U_{xx} .

В большинстве работ [2, 3, 6–8] по исследованию деградации I_{KZ} и U_{xx} облучение протонами и электронами, доводилось до эквивалентных доз ($D_{\text{ЭК}}$), соответствующих времени эксплуатации КА в течение 3–4 лет на разных орбитах в интервале высот $H = 300\ldots36000$ км.

Весьма актуальной в настоящее время является задача комплексного исследования процессов деградации основных параметров солнечных батарей космических аппаратов при больших временах их активного существования ($\Delta t \approx 10\ldots20$ лет), т. е. в условиях ускоренной наземной имитации факторов космического пространства и их воздействия на основные параметры фотоэлектрических преобразователей.

Именно это являлось целью и задачей настоящей работы.

В данной работе исследовано воздействие имитируемых лабораторно потоков протонов и электронов радиационных поясов Земли, а также ионов азота верхней атмосферы Земли с энергией частиц $E = 60\ldots200$ кэВ в широком интервале флюенсов $\Phi = 10^{10}\ldots10^{16}$ част/см², соответствующих временам эксплуатации КА $\Delta t = 1\ldots20$ лет для орбит в интервале высот $H = 300\ldots36000$ км, на основные параметры солнечных батарей КА: ток короткого замыкания I_{KZ} и напряжение холостого хода U_{xx} .

Исследования были проведены на солнечных батареях двух типов: I тип фотопреобразователей изготавливается в КНР (Китайская академия космических технологий, г. Пекин), II тип фотопреобразователей производился в Украине (в Киевском политехническом институте).

МЕТОДИКА НАЗЕМНОЙ УСКОРЕННОЙ ИМИТАЦИИ ФАКТОРОВ КОСМИЧЕСКОГО ПРОСТРАНСТВА, ИЗМЕРЕНИЕ ВОЛЬТ-АМПЕРНЫХ ХАРАКТЕРИСТИК СОЛНЕЧНЫХ БАТАРЕЙ

Объектами исследования I типа солнечных батарей являлись четыре серии открытых кремниевых фотоэлектрических преобразователей п-р-типа, по 10 образцов в каждой серии с размерами $S = 20 \times 20$ мм². Толщина кристалла кремния составляла $d = 150$ мкм (с базовой областью р-типа), глубина залегания п-р-перехода равна $\delta \approx 0.4$ мкм. На нижнюю поверхность образцов ФЭП был нанесен проводящий слой серебра толщиной $\delta_1 \approx 100$ мкм. Все исследованные в работе солнечные батареи КА, изготовленные в КНР, являлись экспериментальными и были предназначены для космических миссий нового поколения.

Объектами исследования II типа солнечных батарей были четыре серии фотоэлектрических преобразователей по четыре образца в каждой серии. В данных сериях три образца были защищены кварцевым стеклом К-208, толщиной $\delta = 200$ мкм. Один образец ФЭП в каждой серии оставался открытый. Фрагменты фотоэлектрических преобразователей были приклешены к панели сотовой конструкции солнечной батареи, изготовленной из углепластиковых пластин с алюминиевым «сотовым» заполнителем. На углепластиковую пластину была приклешена для диэлектрической изоляции ФЭП полиимидная пленка типа ПММ (американское название KAPTON), толщиной $\delta = 25$ мкм. На поверхность пленки из полиимида были приклешены кремниевые фотоэлектрические преобразователи размером $S = 10 \times 10$ мм² с глубиной залегания п-р-перехода $\delta = 0.35$ мкм.

Облучение фрагментов солнечных батарей производили в ускорителе протонов и электронов с совмещенными пучками частиц на комплексных имитаторах факторов космического пространства КИФК и УПИ с энергией частиц $E = 30\ldots200$ кэВ. Методика облучения материалов, а также фрагментов солнечных батарей КА была описана ранее в работах [1, 9].

Для облучения фрагментов солнечных батарей потоками протонов и электронов в вакуумной камере имитатора КИФК были созданы ряд приспособлений для крепления образцов ФЭП на специальном поворотном устройстве. Неравномерность распределения плотности протонов и электронов на облучаемой поверхности ФЭП в режиме сканирования имела величину менее 3 %. Для устранения вторичных электронов перед образцами ФЭП устанавливали диафрагму, на которую подводилось задерживающее напряжение $U = -250$ В. Количество частиц, падающих на облучаемую поверхность, измерялось при помощи электронного пересчетного прибора типа ПСТ-100.

Постоянный ток с облучаемого фрагмента солнечной батареи подводился к импульльному преобразователю тока БИТ-1. Импульсы считывались при помощи декадной системы. Измерение общего потока протонов и электронов производилось по току пучка $\sum I_{\text{P,E}}$ и времени облучения t .

Поскольку число протонов (электронов), падающих на образец за одну секунду при токе пучка $J = 1$ мкА/см² составляет $N = 6.25 \cdot 10^{12}$ част/см², то

время облучения солнечных батарей при фиксированной дозе D и площади образца S будет равно

$$t = DS / 6.25 \cdot 10^{12} J \quad (1)$$

Методика измерения вольт-амперных характеристик (ВАХ) солнечных батарей космических аппаратов. Измерение вольт-амперных характеристик $I(U)$ исходных и облученных фрагментов ФЭП производили в вакуумной камере имитатора КИФК, используя источник заатмосферного Солнца типа ИС-160.

Световой поток на облучаемые ФЭП составлял величину $I_0 = 0.14 \text{ Дж/см}^2\text{с}$, что соответствовало единичной солнечной освещенности. Интервал длин волн имитатора ИС-160 составлял $\lambda\lambda = 200...2500 \text{ нм}$, и был максимально приближен к спектру Солнца.

Контроль интенсивности излучения производили с помощью фотометра типа ТЕС-0693, а также радиометра энергетической освещенности РАТ-2П-КВАРЦ-41, который измерял полный энергетический поток падающего солнечного излучения. Измерение вольт-амперных характеристик (ВАХ) исследуемых ФЭП производили в поле излучения заатмосферного Солнца при равновесной (уставившейся) температуре элементов СБ $T = 50^\circ\text{C}$. Электрическая схема измерения вольт-амперных характеристик приведена на рис. 1.

Расчет эквивалентных доз при облучении ФЭП протонами и электронами на высотах $H = 300...36000 \text{ км}$. Полные флюенсы частиц рассчитывали, исходя из следующих условий.

Глубина проникновения в веществе (в кристаллах кремния) частиц с энергией $E = 60...200 \text{ кэВ}$ составляет: $\xi_p = 0.6...3 \text{ мкм}$ для протонов и $\xi_e = 30...200 \text{ мкм}$ для электронов.

Следует подчеркнуть, что для случая облучения открытых фотоэлектрических преобразователей (который был реализован в настоящих исследованиях) протоны и электроны проходили область $p-n$ -перехода, ширина которого составляла $d \approx 0.4 \text{ мкм}$, и поглощались в базовой области кри-

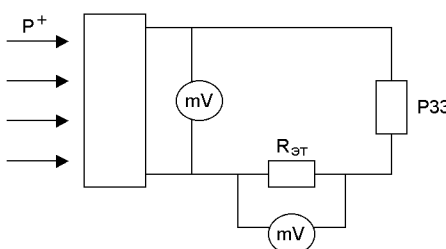


Рис. 1. Электрическая схема измерения вольт-амперных характеристик солнечных батарей

сталлов кремния на глубинах, указанных выше.

Особенно отметим, что для протонов и электронов с энергией $E = 60...200 \text{ кэВ}$ все падающие на образец частицы поглощались материалом солнечной батареи. В этом случае реализовывалась ситуация, когда поглощенная образцами доза ионизирующего излучения ΣD_{Π} была равна величине полного флюенса частиц, падающих на ФЭП:

$$\Sigma D_{\Pi} = \Sigma \Phi_0.$$

Энергетические спектры протонов и электронов средних энергий радиационных поясов Земли согласно [2] хорошо аппроксимируются функцией

$$N(E) = N_0 \exp(-E/E_0), \quad (2)$$

где N_0 — средняя плотность потока частиц на данной высоте, $E_0 = 100...150 \text{ кэВ}$ для протонов и $E_0 \approx 200 \text{ кэВ}$ для электронов.

Полный флюенс частиц Φ_0 , падающих на образец ФЭП, для фиксированной высоты H и времени t полета КА в радиационных поясах Земли определяется из выражений

$$\Phi = \sum D = N_k t_k = N_i t_i, \quad (3)$$

где N_k — средняя плотность потока частиц протонов и электронов в космосе (в радиационных поясах Земли) на данной высоте H полета КА, t_k — время жизни КА в радиационных поясах ($t_k = 1...20 \text{ лет}$), N_i — средняя плотность потока частиц (протонов, электронов, ионов) в наземном имитаторе, t_i — время облучения образцов ФЭП в имитаторе КИФК.

Величину, соответствующую средней плотности потока протонов и электронов N_k для каждой из высот в интервале $H = 300...36000 \text{ км}$, брали из экспериментальных данных по измерениям плотности потока частиц в радиационных поясах с помощью искусственных спутников Земли, приведенных в [2] для соответствующих энергий частиц в интервале $E = 60...200 \text{ кэВ}$.

При облучении образцов ФЭП протонами, электронами, а также ионами азота в имитаторах КИФК и УПИ плотность тока J_p и J_e имела значение $J_p = J_e \leq 0.1 \text{ мкА/см}^2$.

Отметим, что перед облучением солнечных батарей в криогенные экраны вакуумных камер имитаторов КИФК и УПИ заливали жидкий азот (N_2), при этом равновесная (исходная) температура на поверхности солнечных батарей имела значение $T_0 = -80^\circ\text{C}$.

При включении пучков температура образцов ФЭП увеличивалась не более чем на $\Delta T = 5...6^\circ\text{C}$.

РЕЗУЛЬТАТЫ ЭКСПЕРИМЕНТОВ

Проведенные эксперименты можно разбить на четыре серии.

Первая серия образцов ФЭП (I тип, КНР) подвергалась последовательному облучению отдельно протонами с энергиями $E = 60\ldots200$ кэВ и флюенсами $\Phi_i = 10^{14}\ldots10^{16}$ част/ см^2 , соответствующих эквивалентным поглощенным дозам материалами КА на геостационарной орбите в течение времени $\Delta t_K = 1\ldots20$ лет.

Вторая серия ФЭП подвергалась облучению отдельно электронами с энергиями $E = 60\ldots200$ кэВ и дозами $\Phi_i = 10^{14}\ldots10^{16}$ част/ см^2 .

Третья серия образцов ФЭП облучалась отдельно ионами азота с энергией частиц $E = 175$ кэВ и дозами облучения в интервале $\Phi_i = 10^{15}\ldots10^{16}$ част/ см^2 .

Четвертая серия образцов ФЭП (II тип, КПИ) подвергалась совместному облучению протонами и электронами с энергией частиц $E = 175$ кэВ и флюенсами $\Phi_i = 10^{10}\ldots10^{16}$ част/ см^2 , соответствующих эквивалентным поглощенным дозам материалами КА на высотах $H = 670\ldots36000$ км в течение времени $\Delta t = 1\ldots20$ лет эксплуатации космических аппаратов в радиационных поясах Земли.

На рис. 2 представлены результаты экспериментов *первой серии образцов ФЭП*. Приведены типичные зависимости вольт-амперных характеристик $I(U)$ открытых фотопреобразователей, соответствующих исходным образцам (кривая 1) и облученным фотопреобразователям (кривые 2—4) потоками протонов с энергией $E = 60, 120, 175$ кэВ при интегральных флюенсах облучения $\Phi_i = 10^{14}\ldots10^{16}$ част/ см^2 . Каждая кривая построена по данным измерений и усреднений на трех образцах ФЭП. Максимальная доза облучения $\Phi_i = 10^{16}$ част/ см^2 соответствовала эквивалентной поглощенной дозе материалами КА на геостационарной орбите ($H = 36000$ км) в течение 20 лет. При всех трех энергиях протонов в исследованном интервале флюенсов происходит существенная деградация тока короткого замыкания и напряжения холостого хода с увеличением полного флюенса падающих на ФЭП частиц. Кривые 4 демонстрируют, например, уменьшение I_{K3} и U_{xx} практически в два раза при дозе облучения протонами $\Phi_i = 10^{16}$ част/ см^2 .

Вторая серия экспериментов. В данной серии экспериментов облучение открытых фотопреобразователей первого типа (КНР) потоками электронов с энергией частиц $E = 60\ldots200$ кэВ и флюенсами $\Phi_i = 10^{14}\ldots10^{16}$ част/ см^2 не приводило к изменениям хода вольт-амперных характеристик исследо-

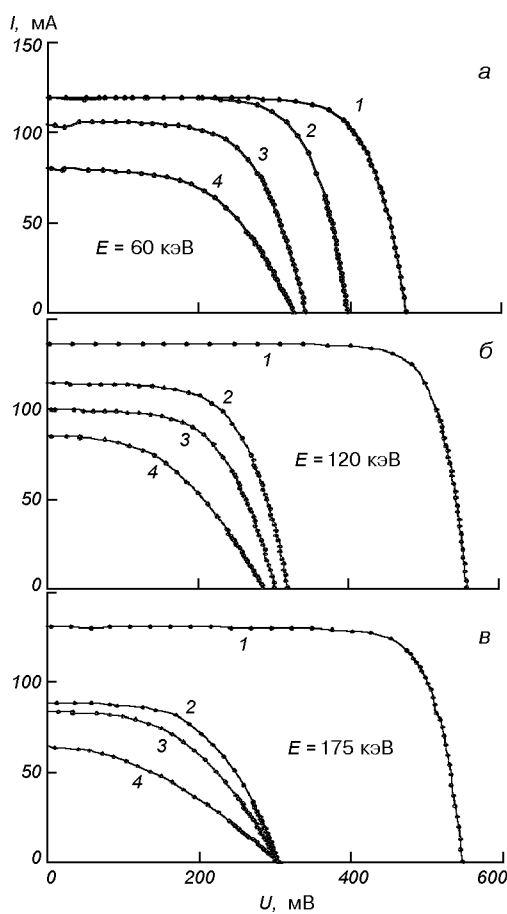


Рис. 2. Вольтамперные характеристики $I(U)$ открытых исходных и облученных протонами фотопреобразователей при различных энергиях частиц: 1 — до облучения; 2, 3, 4 — при дозах облучения протонами: $\Phi = (0.5; 1; 10) \cdot 10^{15}$ част/ см^2

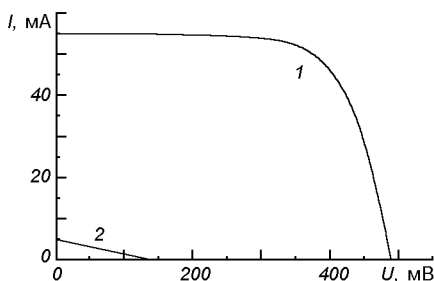


Рис. 3. Вольт-амперные характеристики $I(U)$ открытых исходных и облученных ионами азота N^+ фотопреобразователей при энергиях частиц $E = 175$ кэВ: 1 — до облучения, 2 — при дозе облучения ионами N^+ : $\Phi = 1.4 \cdot 10^{16}$ част/ см^2

ванных солнечных батарей. Основные параметры фотопреобразователей оставались в этом практически без изменений.

Эксперименты третьей серии. На рис. 3 представлена типичные вольт-амперные характеристики

ки исходных открытых фотопреобразователей первого типа (кривая 1), а также облученных ФЭП ионами азота с энергией частиц $E = 175$ кэВ интегральной дозой $\Phi = 1.4 \cdot 10^{16}$ част/ см^2 . Видно, что в случае облучения солнечных батарей ионами азота дозами, эквивалентными 20 годам полета КА на высоте $H = 300$ км, происходит практически полная деградация I_{K3} и U_{XX} ; ток короткого замыкания в этом случае стремится к нулю.

Эксперименты четвертой серии. На рис. 4, а приведены типичные зависимости вольт-амперных характеристик $I(U)$ открытых фотопреобразователей II типа (КПИ) исходных образцов (кривая 1) и облученных ФЭП (кривые 2—4) совместными потоками протонов и электронов с энергией $E = 175$ кэВ при интегральных флюенсах облучения $\Phi_i = 10^{10} - 10^{14}$ част/ см^2 , соответствующих эквивалентным дозам, поглощенным в течение 1—5 лет на высоте $H = 670$ км. Даже при малых поглощенных дозах $\Phi = 2 \cdot 10^{13}$ част/ см^2 (пять лет эксплуатации КА) происходит существенная деградация тока короткого замыкания и напряжения холостого хода. На рис. 4, б приведены типичные вольт-амперные

характеристики защищенных ФЭП (стеклом К-208 с толщиной 200 мкм) исходных образцов и облученных дозами $\Phi = 1.8 \cdot 10^{13}$ част/ см^2 , соответствующих пяти эквивалентным годам полета КА на высоте $H = 670$ км. Видно, что деградация защищенных ФЭП существенно меньше, чем незащищенных. В этом случае имеет место уменьшение тока короткого замыкания, тогда как напряжение холостого хода не изменяет своей величины при воздействии протонов и электронов.

На рис. 5, а представлены зависимости вольт-амперных характеристик открытых фотопреобразователей, облученных протонами и электронами при интегральных флюенсах $\Phi \leq 6 \cdot 10^{15}$ част/ см^2 , эквивалентных 1—5 годам эксплуатации солнечных батарей на высоте $H_2 = 8000$ км. Как и для случая открытых ФЭП, соответствующих высоте $H_1 = 670$ км (рис. 4, а), в данном случае происходит существенная деградация параметров солнечных батарей. Величина U_{XX} , например, уменьшается почти в два раза.

Аналогичные вольт-амперные характеристики облученных протонами и электронами открытых и

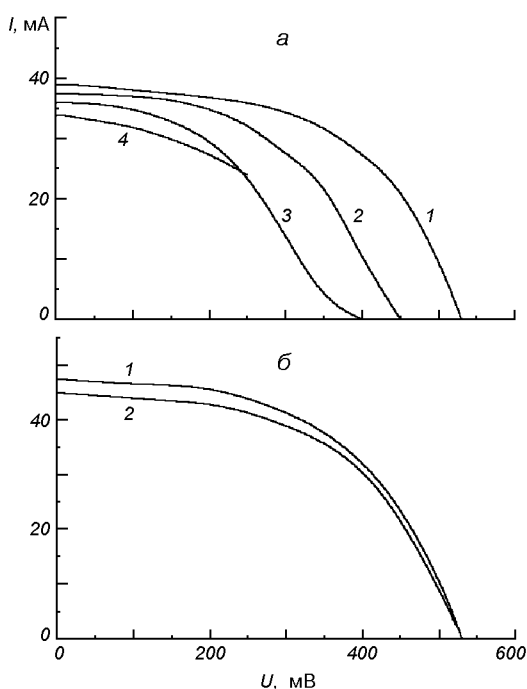


Рис. 4. Вольт-амперные характеристики $I(U)$ открытых (а) и защищенных (б) фотопреобразователей. Кривые 1 — исходные образцы. Кривые 2, 3, 4 (а) — после совместного облучения протонами и электронами с энергией $E = 175$ кэВ дозами, эквивалентными: 1, 3, и 5 годам полета КА на высоте $H = 670$ км. Кривая 2 (б) соответствует пяти годам полета

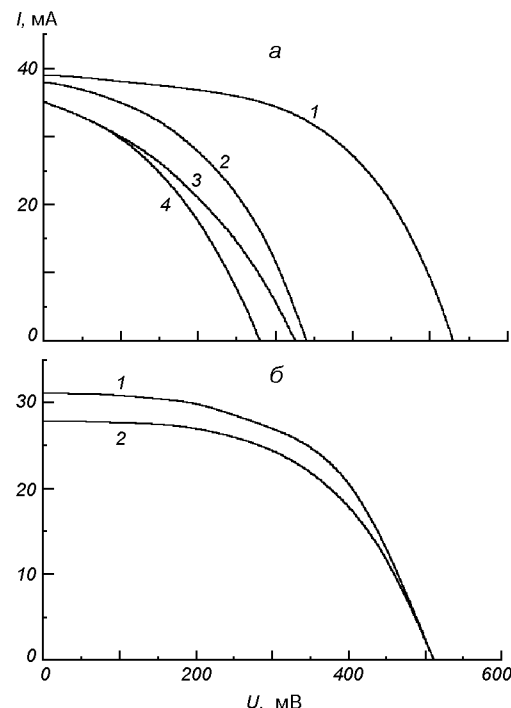


Рис. 5. Вольт-амперные характеристики $I(U)$ открытых (а) и защищенных (б) фотопреобразователей. Кривые 1 — исходные образцы. Кривые 2, 3, 4 (а) — после совместного облучения протонами и электронами с энергией $E = 175$ кэВ дозами, эквивалентными: 1, 3, и 5 годам полета КА на высоте $H = 8000$ км. Кривая 2 (б) соответствует пяти годам полета

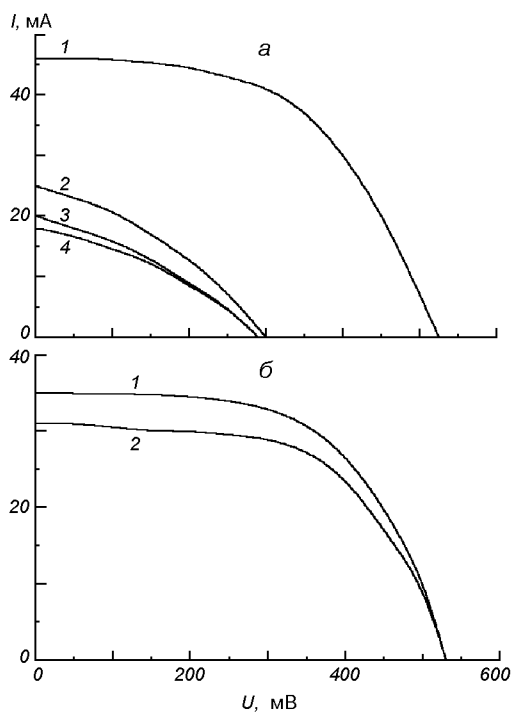


Рис. 6. Вольт-амперные характеристики открытых (а) и защищенных (б) фотопреобразователей. Кривые 1 — исходные образцы. Кривые 2, 3, 4 (а) — после совместного облучения протонами и электронами энергией $E = 175$ кэВ дозами, эквивалентными: 5, 10, и 15 годам полета КА на геостационарной орбите ($H = 36000$ км). Кривая 2 (б) соответствует 15 годам

защищенных ФЭП, представлены на рис. 6 для геостационарной орбиты (GEO, высота $H_3 = 36000$ км). На рис. 6, а приведены характеристики для открытых ФЭП, соответствующих исходным образцам (кривая 1), а также облученным ФЭП совместно протонами и электронами при флюенсах $\Phi_i = 3 \cdot 10^{15} - 10^{16}$ част./см², соответствующих дозам на высотах $H_3 = 36000$ км в течение времени $\Delta t = 1 \dots 20$ лет. Видно, что в этом случае ток короткого замыкания и напряжение холостого хода уменьшаются в два раза.

Отметим, что экспериментальные результаты по деградации параметров солнечных батарей I типа (КНР) при их облучении протонами с энергией $E = 175$ кэВ и флюенсами $\Phi_i = 10^{14} - 10^{16}$ част./см² (рис. 2, а), аналогичны экспериментальным данным по деградации солнечных батарей II типа (КПИ) при совместном облучении протонами и электронами с энергией $E = 175$ кэВ в интервале флюенсов $\Phi_i = 10^{14} - 10^{16}$ част./см² (ср. рис. 2, а и 6 а).

ОБСУЖДЕНИЕ ЭКСПЕРИМЕНТАЛЬНЫХ РЕЗУЛЬТАТОВ

Обсудим теперь полученные экспериментальные результаты с точки зрения современных представлений о взаимодействии ионизирующих излучений с полупроводниковыми материалами в рамках теорий деградации фотоэлектрических преобразователей [2, 3, 6—8].

Оценим вначале поглощенные дозы исследованных ФЭП для флюенсов протонов и электронов в интервале величин $\Phi_i = 10^{14} \dots 2 \cdot 10^{16}$ част./см² и их энергий $E = 60 \dots 200$ кэВ, а также соответствующий указанным флюенсам число эквивалентный срок пребывания космического аппарата в радиационных поясах Земли на геостационарной орбите.

Величина поглощенной дозы исследованных образцов ФЭП определяется известным соотношением

$$D = \Phi E / \rho \xi, \quad (4)$$

где Φ — полный флюенс частиц ρ — плотность полупроводника, ξ — глубина проникновения частиц в вещество, которая зависит от типа материала и энергии падающих частиц. В нашем случае для протонов $E = 60 \dots 200$ кэВ, $\Phi_i = 10^{10} - 10^{16}$ част./см², $\rho = 2.33$ г/см³ (кремний), $\xi_p = 0.6 \dots 2$ мкм. Расчет поглощенной дозы для энергии протонов $E_1 = 60$ кэВ и флюенса $\Phi_1 = 10^{16}$ част./см² дал значение $D_1 = 5 \cdot 10^{10}$ рад, а для энергии $E_2 = 175$ кэВ и флюенса $\Phi_2 = 10^{16}$ част./см² — значение $D_2 = 10^{11}$ рад, т. е. в два раза больше.

Для геостационарной орбиты GEO ($H = 36000$ км) согласно [2] средняя плотность потока протонов для энергии $E = 175$ кэВ, имеет значение: $J_p = 1.6 \cdot 10^7$ част./см². Соответственно этой величине эквивалентная поглощенная доза материалами КА в течение одного года будет иметь значение $D_1 = J_p t = 5 \cdot 10^{14}$ част./см². Полный флюенс протонов $\Phi_1 = 10^{16}$ част./см² будет соответствовать в нашем случае 20 эквивалентным годам полета КА на геостационарной орбите. Таким образом, здесь при ускоренном облучении протонами был реализован случай наземной имитации воздействия факторов космоса на деградацию фотопреобразователей в течение интервала времени $\Delta t_K = 1 \dots 20$ эквивалентных лет на геостационарной орбите.

Последующее сравнение эксперимента с теоретическими моделями деградации солнечных батарей будем проводить для случая геостационарной орбиты, имеющей важное значение для полетов КА в радиационных поясах Земли.

Результаты по измерению вольт-амперных характеристик исходных и облученных протонами открытых ФЭП (рис. 2) позволили получить экспе-

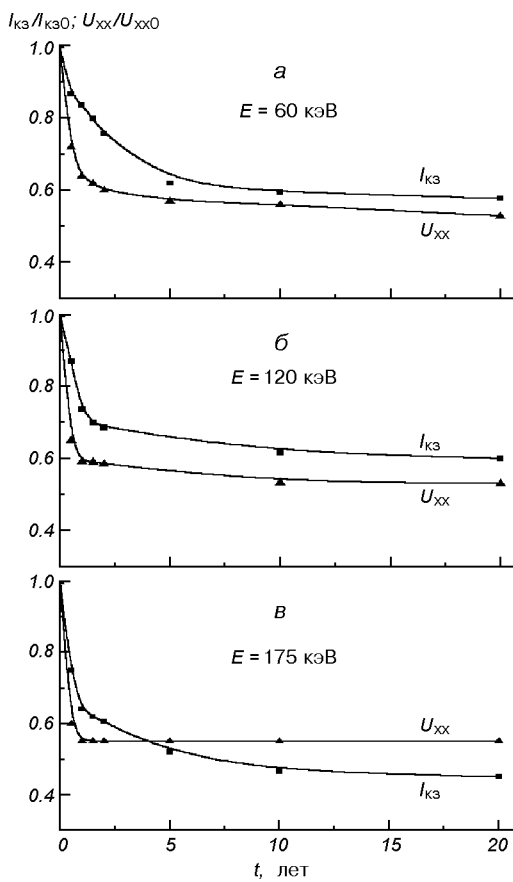


Рис. 7. Деградационная зависимость тока короткого замыкания $I_{K3}(D)/I_{K3}(0)$ и напряжения холостого хода $U_{xx}(D)/U_{xx}(0)$ солнечных батарей от их времени эксплуатации на GEO-орбите ($a = 36000$ км) при различных энергиях протонов $E = 60 \dots 175$ кэВ. α, β, γ — экспериментальные значения в сравнении с расчетными кривыми I для тока $I_{K3}(D)/I_{K3}(0)$ по формуле (8) теории [6], соответственно для параметров φ и θ : $\varphi_1 = 0.625$, $\theta_1 = 2.91$ г.; $\varphi_2 = 0.6$; $\theta_2 = 1.44$ г.; $\varphi_3 = 0.45$, $\theta_3 = 1.265$ г.

Экспериментальные деградационные характеристики исследованных солнечных батарей, т. е. зависимости нормированной величины тока короткого замыкания $I_{K3}(D)/I_{K3}(0)$ и нормированной величины напряжения холостого хода $U_{xx}(D)/U_{xx}(0)$ от времени эксплуатации материалов КА на GEO-орбите в условиях наземной ускоренной имитации факторов космического пространства. На рис. 7 представлены экспериментальные зависимости нормированной величины тока короткого замыкания $I_{K3}(D)/I_{K3}(0)$ и нормированной величины напряжения холостого хода $U_{xx}(D)/U_{xx}(0)$ от времени полета КА на геостационарной орбите в течение $\Delta t_K = 1 \dots 20$ лет для трех энергий протонов: $E = 60, 120$ и 175 кэВ. Анализ деградационных кривых показывает, что

снижение тока короткого замыкания и напряжения холостого хода происходит по-разному для трех энергий протонов. В работах [1—8] принято считать, что критической величиной деградации солнечных батарей является уменьшение их тока короткого замыкания, и напряжения холостого хода на 25 % от исходной величины $I_{K3}(0)$ и $U_{xx}(0)$ при некоторой критической дозе облучения D_{KP} , соответствующей «времени жизни» фотопреобразователей в космическом пространстве.

Из рис. 7 видно, что для тока $I_{K3}(D)/I_{K3}(0)$ «время жизни» открытых ФЭП (I типа) на уровне деградации 25 % при облучении их протонами с энергией $E = 60, 120, 175$ кэВ составляет $\Delta t^* = 3.2, 1.3, 0.8$ г. При энергии протонов $E = 175$ кэВ наблюдается самое сильное уменьшение (более чем в два раза) тока короткого замыкания и напряжения холостого хода, а также имеет место максимальная скорость уменьшения основных параметров. Для энергии протонов $E = 175$ кэВ практически в два раза уменьшается «время жизни» солнечных батарей на уровне 25 % их деградации в сравнении с «временем жизни» для энергии $E = 60$ кэВ.

Обсудим теперь вопрос, связанный с существенной деградацией основных параметров открытых ФЭП двух типов (кривые рис. 2 и рис. 4—7), т. е. проанализируем полученные экспериментальные данные в рамках микроскопических [2, 7, 8] и феноменологической [6] теорий деградации солнечных батарей в поле космической радиации.

В настоящее время в качестве солнечных батарей космических аппаратов наибольшее распространение получили кремниевые фотоэлектрические преобразователи, изготовленные из кремния p-типа проводимости для базовой области (т. е. батареи n-p-типа). Эксперименты показали, что батареи с базовой областью кремния p-типа обладают существенно меньшей радиационной стойкостью, чем батареи из кремния p-типа проводимости. На поверхности кремния p-типа проводимости толщиной от 100 до 500 мкм формируют тонкий (порядка $\delta \approx 0.1 \dots 2$ мкм) высоколегированный слой с проводимостью обратного типа (n-типа). В нашем случае для исследованных батарей двух классов n-p-переходы имели толщину $\delta_1 = 0.4$ мкм, и $\delta_2 = 0.35$ мкм. При попадании солнечного света сквозь поверхность ФЭП в объем солнечной батареи неосновные носители, рожденные светом в легированном слое, устремляются к n-p-переходу за счет диффузии и дрейфа в электрическом поле. Носители, образованные светом в базовой области ФЭП, — в основном за счет диффузии. Электронно-дырочные пары разделяются n-p-переходом под действием контак-

тного электрического поля E_k . Разность потенциалов, возникающая на омических контактах к п-области и р-области фотопреобразователя обуславливает при этом ток во внешней цепи солнечной батареи.

Известно, что ширина запрещенной зоны для кристаллов кремния имеет значение $E_g = 1.107$ эВ. При поглощении света с длинами волн $\lambda < 115$ нм (т. е. при $h\nu > E_g$) происходит процесс эффективного образования электронно-дырочных пар. При этом, на границе раздела между п-р-переходом и базовой областью ФЭП формируется повышенная концентрация неосновных носителей тока величиной N_{S0} .

В теориях деградации солнечных батарей [2, 7, 8], вводится ряд параметров, описывающих кинетику миграции электронно-дырочных пар в необлученных и облученных ФЭП. Одним из параметров теории является диффузионная длина L неосновного носителя, которая равна среднему расстоянию от места образования неосновного носителя (в базовой области) до п-р-перехода. Величина L определяет тот эффективный объем, из которого рожденные светом носители собираются п-р-переходом. С диффузионной длиной L однозначно связано время жизни τ неосновных носителей: $\tau = L^2/D$, где D — коэффициент диффузии носителей тока.

Согласно теории деградации [2], основной причиной ухудшения фотоэлектрических характеристик облучаемых солнечных батарей является уменьшение времени жизни τ неосновных носителей тока. При облучении кремниевых фотопреобразователей в первую очередь меняется τ в базовой области, исходная величина которого обычно превышает несколько микросекунд. В легированном слое время жизни, составляющее $\tau \approx 1$ нс, падает лишь при высоких флюенсах облучения. Снижение времени жизни τ носителей обусловлено возрастанием скорости их объемной рекомбинации вследствие возникновения радиационных дефектов, имеющих глубокие энергетические уровни в запрещенной зоне полупроводника.

Время жизни τ связано с вероятностью рекомбинации W неосновных носителей тока соотношением: $W = 1/\tau$. Тогда согласно теории деградации солнечных батарей [2] для вероятности рекомбинации W^* неосновных носителей в облученных полупроводниках можно записать выражение

$$W^* = W_0 + W_j \quad (5)$$

где W_0 — вероятность рекомбинации неосновных носителей на центрах, существовавших до облучения; W_j — вероятность рекомбинации носителей на

центрах, генерированных радиацией. Соотношение (5) с учетом связи: $W = 1/\tau$ можно записать в виде

$$1/\tau^* = 1/\tau_0 + K^1 \Phi, \quad (6)$$

где τ_0 и τ^* — время жизни носителей до и после облучения флюенсом Φ , K^1 — коэффициент повреждения ФЭП, характеризующий эффективность введения дефектов единичным потоком частиц и вероятность рекомбинации на них. В теории деградации ФЭП [2] представляются выражения для коэффициентов повреждения K^1 солнечных батарей в случае одиночных точечных дефектов, которые образуют один рекомбинационный уровень в запрещенной зоне, а также для случая, когда облучение создает несколько уровней рекомбинации неосновных носителей в запрещенной зоне.

Эксперименты показали, что при облучении кремниевых фотопреобразователей электронами нижний порог их электронного повреждения лежит при $E_E = 145$ кэВ. Данная энергия соответствует пороговой энергии смещения атома из узла кристаллической решетки ($E_{CM} = 12.9$ эВ). Это значение было установлено в опытах по облучению электронами п-кремния [2]. Для р-кремния при электронном облучении приводится значение пороговой энергии дефектообразования $E_{PP} = 220$ кэВ [2], что соответствует минимальной энергии смещения двух атомов, т. е. образованию в кремнии дивакансии.

С этих позиций становятся понятными эксперименты II серии образцов, в которых облучение открытых ФЭП производили потоками электронов с энергиями $E = 60, 120, 175$ кэВ. Для указанных ФЭП (I группы) с базовой областью р-типа уровень энергии падающих на ФЭП электронов ($E \leq 175$ кэВ) был ниже пороговой энергии дефектообразования ($E_{PP} = 220$ кэВ), характерного для р-кремния. В макроскопических экспериментах при освещении ФЭП имитатором заатмосферного Солнца это не приводило к заметному изменению хода вольт-амперных характеристик солнечных батарей. Можно сказать, что даже незащищенные ФЭП являются радиационно стойкими по отношению к электронному облучению в области энергий электронов, не превышающих пороговое значение энергии дефектообразования $E_{PP} = 220$ кэВ.

В сравнении с электронами, тяжелые заряженные частицы (в нашем случае протоны и ионы азота) обладают значительно более высокой дефектообразующей способностью. Поэтому потоки тяжелых частиц, главным образом протонов радиационных поясов Земли на высотах $H = 600\dots 36000$ км, в значительной степени будут опреде-

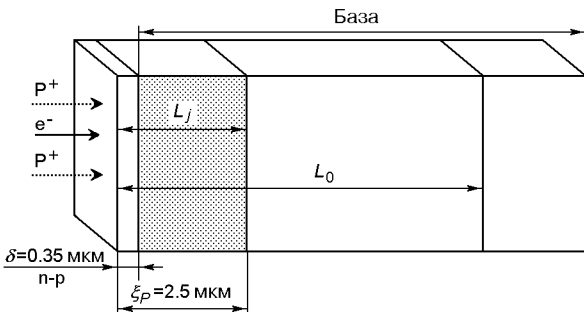


Рис. 8. Схема облучения элементов солнечных батарей совместными пучками протонов и электронов с энергией $E = 175$ кэВ

лять радиационные повреждения солнечных батарей КА. На малых высотах КА $H = 300...600$ км к этим воздействиям добавляется также влияние ионов верхней атмосферы Земли: (N^+ , O^+ , He^+ , Ar^+).

Экспериментальные результаты настоящей работы (рис. 2, 6) показывают существенное влияние потоков протонов и ионов азота на деградацию открытых ФЭП. Это находится в хорошем согласии с полученными ранее данными по деградации солнечных батарей в области энергий протонов $E = 0.4...10$ МэВ [2]. Однако отметим, что исследований по деградации ФЭП с интервале энергий протонов $E = 60...200$ кэВ практически нет. С другой стороны, концентрация протонов и электронов данных энергий имеет максимальное значение $\rho \approx 10^7...6 \cdot 10^8$ част/см²с в радиационных поясах Земли на всех высотах $H = 300...36000$ км.

Как отмечалось выше, в нашем случае глубина проникновения протонов с энергией $E = 60...200$ кэВ равна $\xi_p = 0.6...2.5$ мкм, а электронов — $\xi_e = 200...250$ мкм. Область n-p-перехода исследованных ФЭП равна $\delta = 0.35...0.4$ мкм (рис. 8). Здесь L_0 — диффузионная длина неосновных носителей тока в необлученных кристаллах кремния; L_j — диффузионная длина после облучения протонами.

Как в случае с электронами, в целом ряде работ [2, 3, 7, 8] при облучении кристаллов Si протонами были определены зависимости коэффициента повреждения кремния от энергии падающих протонов, а также построены теоретические модели для объяснения экспериментальных данных. Экспериментально установлено, что в широком интервале энергий протонов $E = 0.3...10$ МэВ, коэффициент повреждения кремния обратно пропорционален энергии протонов: $K_p(E) \propto 1/E$. Для интервала энергий протонов $E = 60...300$ кэВ теории предсказывали увеличение коэффициента повреждения K_p ,

т. е. зависимость $K_p = f(E_p)$ имела максимум в области энергий $E = 200...300$ кэВ. Результаты настоящих экспериментов хорошо качественно согласуются с моделями деградации ФЭП [2, 3, 7, 8] для области энергий протонов $E = 60...200$ кэВ, в которой повреждения увеличиваются с увеличением энергии протонов. Теоретические модели, которые позволили удовлетворительно объяснить экспериментальные данные, базировались на том, что в процессах рекомбинации носителей, наряду с точечными дефектами в кристаллах кремния, существенную роль играют также области разупорядочения. Было показано, что суммарный коэффициент повреждения кремния ΣK определяется выражением $\Sigma K = K_{\text{тд}} + K_{\text{ор}}$, где $K_{\text{тд}}$ и $K_{\text{ор}}$ — коэффициенты повреждения, обязаные точечным дефектам и областям разупорядочения. В работах [2, 3, 7, 8] было показано, что вклад областей разупорядочения при протоном облучении является определяющим в процессе рекомбинации носителей тока. Пороговая энергия образования областей разупорядочения в кремнии составляет $E = 20...40$ кэВ, что значительно меньше энергии протонов в наших экспериментах $E = 175$ кэВ, т. е. по нашему мнению, данный механизм будет преобладающим.

В нашей работе при облучении ФЭП протонами энергией $E = 175$ кэВ реализуется весьма интересный случай, когда пробег протонов ξ_p практически в 10 раз превышает глубину залегания n-p-перехода, но меньше диффузионной длины L_0 неосновных носителей в необлученном образце. При этом рабочая область базы ФЭП (т. е. объем, из которого собираются носители, рожденные светом), оказывается поврежденной неоднородно. При больших флюенсах ($\Phi = 10^{16}$ част/см², что соответствует поглощенной дозе $D \approx 10^{11}$ рад) на глубине поглощения протонов $\xi_p = 2...2.5$ мкм образуется слой с повышенной концентрацией радиационных дефектов, препятствующих свободному дрейфу неосновных носителей в базе фотопреобразователя. Именно с этих позиций можно объяснить полученные в настоящей работе данные о существенном влиянии протонного облучения (рис. 2—7) на деградацию основных параметров солнечных батарей.

Сравним теперь экспериментальные результаты — ход нормированных величин тока короткого замыкания $I_{\text{K3}}(D)/I_{\text{K3}}(0)$ и напряжения холостого хода $U_{\text{XX}}(D)/U_{\text{XX}}(0)$ от времени эксплуатации материалов КА на GEO-орбите — с предсказаниями феноменологической теории деградации солнечных батарей Раушенбаха [6]. Согласно модели [6] возникновение радиационных дефектов в кристаллах полупроводников приводит к изменению равновес-

ной концентрации носителей тока вследствие захвата их уровнями дефектов. В теории [6] модель ФЭП представляется в виде «черного ящика», в который поступает солнечный свет, а выходит ток. Внутри кристалла электроны и дырки свободно передвигаются по всему объему. Изменение во времени стационарной концентрации неосновных носителей заряда в полупроводнике, возникающей при заданных условиях облучения, определяется в теории [6] уравнением

$$dN^*/dt = -(N^* - \varphi)/\theta, \quad (7)$$

где: $N^* = N/N_0$; N_0 — концентрация носителей в начальный момент времени t_0 , t — время облучения фотопреобразователей, θ — постоянная времени процесса деградации солнечных батарей, которая зависит от интегрального флюенса при облучении частицами и типа материала ФЭП, $\varphi = N_\infty/N_0$; N_∞ — предельная концентрация носителей (при $t \rightarrow \infty$).

Очевидно, что нормированная концентрация носителей тока $N^* = N/N_0$ будет пропорциональна полному току $I^* = I/I_0$, (где I_0 — начальное значение тока), а также пропорциональна напряжению на солнечной батарее $U^* = U/U_0$. Решение уравнения (7) будет иметь вид

$$I^* = U^* = \varphi + (1 - \varphi)\exp(-t/\theta). \quad (8)$$

Формула (8) дает аналитическое выражение деградационной характеристики, т. е. зависимость тока фотопреобразователя от времени его пребывания в поле космической радиации. Параметры φ и θ можно найти из условий эксперимента. Видно, что параметр φ определяет предельную величину тока солнечной батареи при $t \rightarrow \infty$, (т. е. предельный уровень деградации тока в поле космической радиации). Параметр θ определяет скорость спада деградационной характеристики фотопреобразователя от времени облучения.

Обработка экспериментальных деградационных кривых для тока $I_{\text{K3}}(D)/I_{\text{K3}}(0)$ и напряжения $U_{\text{XX}}(D)/U_{\text{XX}}(0)$ (рис. 7) показала, что наилучшее согласие экспериментальных данных для энергий протонов $E_1 = 60$ кэВ, $E_2 = 120$ кэВ, $E_3 = 175$ кэВ, с расчетными кривыми по формуле (8) имеет место при следующих значениях параметров φ и θ соответственно: $\varphi_1 = 0.625$, $\theta_1 = 2.91$ г.; $\varphi_2 = 0.6$, $\theta_2 = 1.44$ г.; $\varphi_3 = 0.45$, $\theta_3 = 1.265$ г. На рис. 7 показаны (сплошными линиями) теоретические зависимости нормированного тока $I_{\text{K3}}(D)/I_{\text{K3}}(0)$, рассчитанные согласно выражению (8) для указанных выше параметров φ и θ для энергий протонов $E = 60$, 120,

и 175 кэВ. Видно, что при данных параметрах наблюдается хорошее качественное и количественное согласие экспериментальных результатов с теоретической моделью [6]. Анализ деградационных характеристик для тока показывает (рис. 7), что максимальное влияние на деградацию исследованных ФЭП оказывают протоны с энергией $E = 175$ кэВ. В этом случае уровень деградации тока короткого замыкания и напряжения холостого хода является максимальным. Для тока, например, $\varphi_3 = I_{\text{K3}}(D)/I_{\text{K3}}(0) = 0.45$; т. е. уменьшение тока происходит более чем в два раза.

Особенно отметим, что для создания солнечных батарей нового поколения с большими временами жизни ($\tau \approx 10..20$ лет) в радиационных поясах Земли требуется разработка и создание как новых полупроводниковых материалов для фотопреобразователей (например из углеродных нанотрубок), так и новых эффективных радиационно стойких защитных покрытий, изготовленных из стекла и других прозрачных материалов.

В заключение отметим, что для понимания механизмов деградации солнечных батарей на базе новых полупроводниковых материалов, а также фотопреобразователей с перспективными защитными покрытиями требуется постановка новых экспериментальных и теоретических работ.

Авторы выражают глубокую благодарность ректору Харбинского политехнического университета профессору Ван Шугуо за обсуждение результатов работы, а также за большую поддержку исследований в области космического материаловедения.

1. Абраимов В. В., Еременко В. В., Верховцева Э. Т., и др. Комплексная система наземной имитации факторов космического пространства // Вестник Харьков. ун-та. Сер. физ. Ядра, частицы, поля.—2001.—№ 541, вып. 4.—С. 28—34.
2. Вернов С. Н., Акишин А. И. Влияние космических излучений на полупроводниковые фотопреобразователи // Модель космического пространства. — М.: НИИЯФ МГУ, 1983.—Т. 2.—С. 513—550; Заряженные частицы в магнитосфере Земли и других планет.—Т. 1.—С. 365—414.
3. Колтун М. М. Солнечные элементы. — М.: Наука, 1987.—92 с.
4. Летин В. А., Заявлени В. Р. Анализ работы солнечных батарей низкоорбитальных космических аппаратов // Космич. исследования.—1994.—32, вып. 4—5.—С. 216—218.
5. Летин В. А., Заявлени В. Р., Губанова И. А. Солнечные батареи. Вопросы деградации // Электротехническая промышленность. Сер. 22. Источники тока.—1988.—Вып. 13.—С. 1—44.
6. Раушенбах Г. Справочник по проектированию солнечных батарей. — М.: Энергоатомиздат, 1983.—360 с.
7. Фаренбрух А., Бьюб Р. Солнечные элементы: Теория и эксперимент. — М.: Энергоатомиздат, 1987.—280 с.
8. Эллиот Дж. Фотоэлектрические преобразователи энергии // Прямое преобразование энергии. — М.: Мир, 1969.—360 с.

9. Abraimov V. V., He Shiyu, Hu Zhenyu, Yang Dezhuang, et al. Space-induced degradation of parameters of solar batteries under the influence of the space environment factors // The Fifth Sino-Russian-Ukrainian Symposium on Space and Technology. — Harbin, 2000.—P. 724—734.

**DEGRADATION OF PARAMETERS OF SOLAR CELLS
UNDER THE INFLUENCE OF OPEN SPACE FACTORS**

Hu Zhenyu, V. V. Abraimov, He Shiyu,
Yang Dezhuang, B. M. Rassamakin

We investigate effects of protons, electrons, and residual nitrogen ions in the Earth's atmosphere on the electrical properties of space-used solar cells, namely, the short-circuit current I_{sc} and the idle running voltage U_{ir} . The KIFK and UPI space environment simulators were used as irradiation equipments. The energy and

fluence ranges for these particles were $E = 60\ldots200$ keV and $F = 10^{10}\ldots10^{16}$ part/cm², respectively. In order to simulate changes of the curve $I — U$ at altitudes $H = 300\ldots36000$ km for orbit lives $\Delta t = 1\ldots20$ years, the irradiation results of the uncovered K-208 solar cells and the covered K-208 solar cells were compared in the fluence range between 10^{10} and 10^{16} part/cm². For the uncovered solar cells, the short-circuit current I_{sc} and the idle running voltage U_{ir} degraded by 50 percent and more when the fluence is $F = 5 \cdot 10^{14}$ part/cm². In the case of the covered solar cells, the short-circuit current I_{sc} and the idle running voltage U_{ir} decreased by nearly 25 percent when the combined fluence of electrons and protons is $F = 10^{16}$ part/cm² (such a fluence corresponds to a 20-year geostationary Earth orbit). However, the nitrogen ion irradiation (N^+) under the same condition caused the short-circuit current to decrease nearly to zero. The experimental results are analysed within the framework of irradiation-induced damage theories of the solar cells. The ratio of the current after the irradiation to the current before the irradiation I_D/I_0 is in good agreement with the solar cell irradiation-induced damage theory given by G. Rauschenbah.